



بارزسازی دگرسانی‌های در ارتباط با کانه‌زایی چند فلزی پورفیری در منطقه قره گل (استان اردبیل) با استفاده از تحلیل مولفه‌های اصلی و نقشه بردار زاویه طیفی

سیده نرگس ساداتی، شادی ضیاء*، غلامرضا احمدزاده

گروه زمین‌شناسی اقتصادی، دانشگاه محقق اردبیلی، اردبیل، ایران

(دریافت مقاله: ۱۴۰۰/۱۰/۱۵، نسخه نهایی: ۱۴۰۰/۱۲/۲۶)

چکیده: منطقه قره گل در پهنه فلززایی اهر- ارسباران در استان اردبیل، شهرستان مشکین شهر و در بخش مرادلو واقع است. قدیمی‌ترین واحدهای سنگی در این منطقه مربوط به سنوزوئیک (اثوسن) و شامل برش آتشفسانی است. در این منطقه، توده‌های ریزکوارتزدیوریتی در سنگ‌های آتشفسانی و آذرآواری نفوذ نموده‌اند و دگرسانی و کانه‌زایی در مقیاس پایین ایجاد شده است. نتایج برآمده از پردازش تصاویر است برای بارزسازی دگرسانی‌ها براساس نوارهای جذبی و انتخاب بهترین ترکیب رنگی نسبتی (۶, ۷, ۸, ۹, ۵+۷, ۵) به ترتیب برای دگرسانی‌های آرزیلیک، فیلیک و پروپلیتیک)، همچنین استفاده از روش‌هایی چون تحلیل مولفه‌های اصلی و نقشه بردار زاویه طیفی گوبای همراهی این دگرسانی‌ها در بخش مرکزی کانسار بوده که بررسی‌های سنگ نگاری نیز آن را تایید کرده است. بررسی‌های صحرایی نشان داده است که نتایج برآمده از نقشه بردار زاویه طیفی (SAM) نسبت به تحلیل مولفه‌های اصلی (PCA) در بارزسازی دگرسانی‌ها عملکرد بهتری داشته است.

واژه‌های کلیدی: چند فلزی؛ دگرسانی؛ استر؛ قره گل.

مقدمه

میان، می توان به انباسته‌های مس، طلا، سرب، روی و منگنز اشاره کرد. شمال غرب کمربند مس ایران به نام کمربند مس ارسباران شناخته می‌شود در ادامه، کمربند ماغمایی ارومیه دختر قرار دارد و پیشتر بربریان از این کمربند با نام کمربند قره داغ یاد کرده‌اند، کانه‌زایی فراگرمایی و فلزهای پایه لهریز- انزان، نقدوز، سرخانلو، نیر، زرج آباد و هشتگین- مجدر از آن جمله هستند [۲, ۱]. گستره معدنی قره گل بخشی از منطقه ارسباران محسوب می‌شود که به دلیل قرارگیری در جایگاه ویژه زمین‌شناسی و فلززایی در این پژوهش از نظر سنگ نگاری، دگرسانی و کانه‌زایی با استفاده از پردازش تصاویر ماهواره‌ای استر بررسی شده است. نقشه‌برداری از پهنه‌های دگرسان شده با سنجنده‌هایی با توانایی ثبت بازتاب و جذب طیفی کانه‌های شاخص دگرسانی در گستره‌های مختلف طیف الکترومغناطیسی انجام شود. همچنین می‌توان از داده‌های

از نظر زمین ساختی، اغلب کانه‌زایی مس و عناصر چند فلزی در کمربندهای کوهزایی وابسته به پهنه‌های فرونشان فانروزوئیک (به ویژه مزوزوئیک- سنوزوئیک) و در ارتباط با کمان‌های آتشفسانی- آذرین نفوذی- پلوتونی آهکی- قلایی یافته می‌شوند که در کشور ایران اغلب با نام کمربند ارومیه- دختر در راستای شمال غرب تا جنوب شرق گسترش دارند و براساس نظر بسیاری از زمین‌شناسان، در ارتباط با فرونشان صفحه نتوتیس به زیر صفحه ایران هستند. از نظر زمین‌شناسی ساختاری، بخش عمده استان اردبیل وابسته به پهنه ساختاری البرز- آذربایجان است و در آن سنگ‌های آتشفسانی و نیز آذرآواری‌های اوایل ترشیاری سهم به سزاوی دارند. پهنه ساختاری البرز- آذربایجان به دلیل فعالیت‌های آتشفسانی همراه با کانه‌سازی از نوع چند فلزی است که از آن

*نویسنده مسئول، تلفن: ۰۹۱۲۷۹۸۷۲۸۸، نمابر: ۰۴۵۳۳۵۱۲۲۰۰، پست الکترونیکی: sadati_sn@uma.ac.ir

شامل آندزیت تا گدازه‌ی داسیتی و گستردگی آهکی-قلیایی به شکل گرانیتوئیدی، پوشش داده شده است که به عنوان کمریند ماگمایی البرز - آذربایجان شناخته می‌شود. منطقه‌ی اکتشافی قره‌گل در چارگوش زمین‌شناسی ۱:۲۵۰۰۰۰۱ اهر و برگه زمین‌شناسی ۱:۱۰۰۰۰۰ لاهرود بین طول‌های $41^{\circ} 28'$ تا $46^{\circ} 38'$ شمالی واقع است [۱۱]. راه‌های دسترسی به این منطقه جاده‌های مشکین شهر - اردبیل و مشکین شهر به تازگی، پژوهش‌های موفق برای شناسایی دگرسانی ها با استفاده از این روش‌ها انجام شده است [۸-۴]. از این رو، در این پژوهش نقشه‌برداری از پهنه‌های دگرسانی آرژیلیک، فیلیک و پروپلیتیک در منطقه مورد بررسی به روش مشابهی انجام گردید. در اینجا، با تحلیل مولفه‌های اصلی و نقشه‌بردار زاویه طیفی روی تصاویر استر، روشی کمی برای کاهش ابعاد مجموعه داده‌ها و همچنین کاهش همبستگی در داده‌های چند طیفی و در نتیجه ارائه بهترین نتایج برای استخراج دگرسانی‌ها ارائه داده می‌شود.

روش بررسی

هدف اصلی از این پژوهش بررسی ویژگی‌های صحرایی، بررسی‌های سنجشناستی و کانی‌شناسی در مقاطع نازک و صیقلی، شناسایی پهنه‌های دگرسانی و کشف ناهنجاری‌های احتمالی عناصر در منطقه بود که این منظور از شواهد میکروسکوپی و نقشه‌های مکان‌نگاری، نقشه‌های زمین‌شناسی و ماهواره‌ای تصاویر استر (AST_L1T_00307142000080441_2015041009084_V_98038_9) استفاده شد. برای بررسی‌های دقیق سنگ-نگاری، ۱۴ مقطع نازک از نمونه‌های سطحی و ۲۸ مقطع نازک از مغزه‌های حفاری تهیه شد. برای تعیین بافت، ساخت، توالی ۳۰ مقطع نازک صیقلی و ۳ مقطع صیقلی تهیه و با میکروسکوپ قطبشی عبوری- بازتابی بررسی شدند.

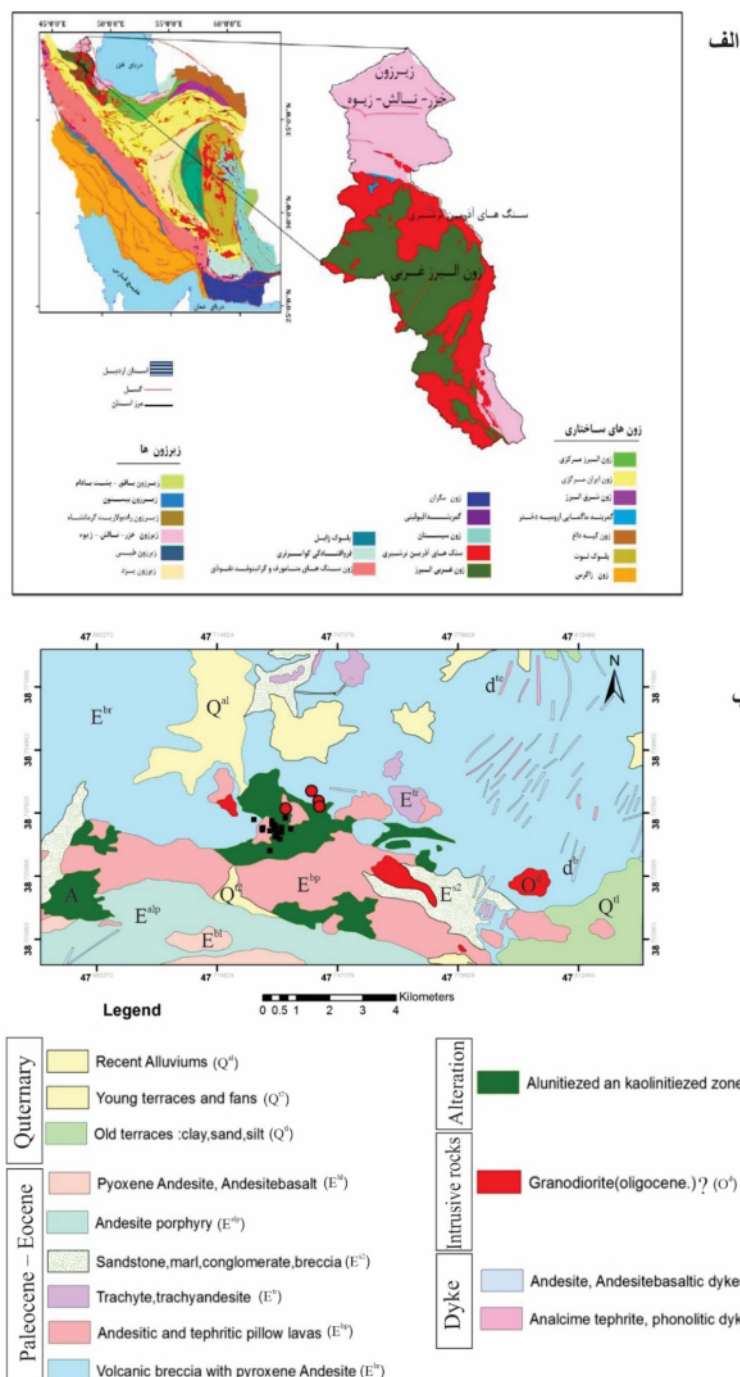
بحث و بررسی

زمین‌شناسی منطقه

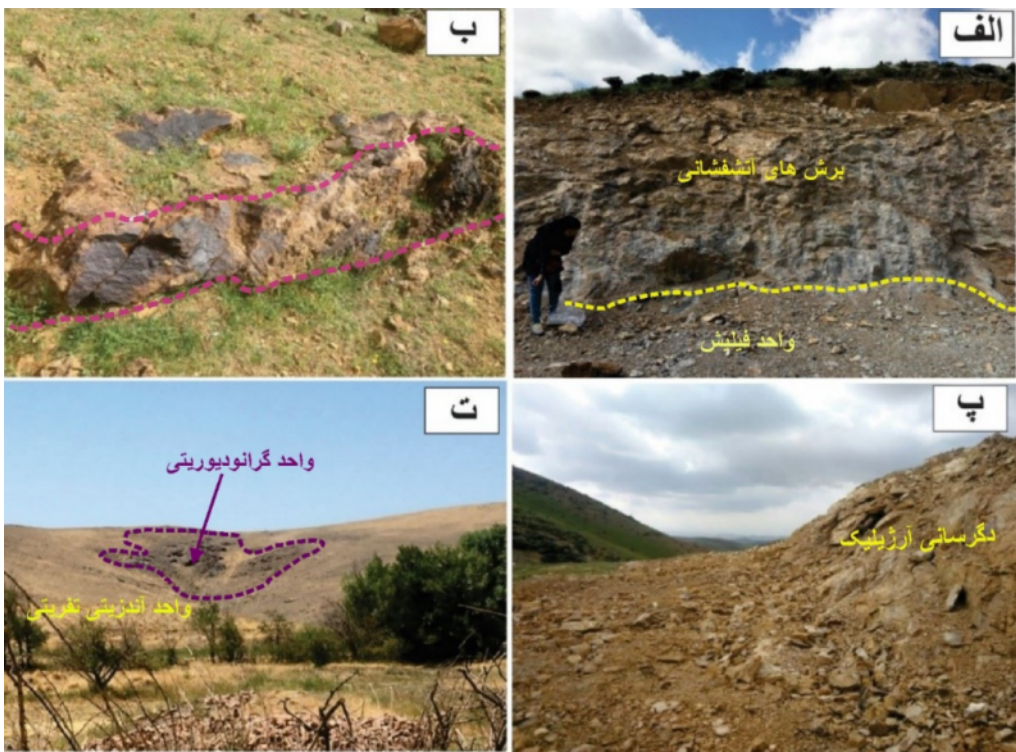
کمریند ماگمایی البرز در بخش شمالی ایران قرار داشته و روند شرقی غربی دارد [۹، ۱۰] و به بخش‌های غربی، مرکزی و شرقی تقسیم شده است و بخشی از گسل شمالی- جنوبی رشت تاکستان را نیز دربرمی‌گیرد. براساس تقسیم‌بندی ساختاری مرجع [۱۱]، گستره استان اردبیل با پهنه البرز غربی

جوان‌تر بریده شده است. بافت این واحد ریزدانه‌ای پورفیری است. رخنمون در این واحد به صورت مخروطی شکل و دارای هوازدگی کمی است. حرکت‌های زمین ساختی مربوط به آپین با تزریق توده‌های نفوذی و دگرسانی گرمابی در این منطقه عملکرد شدیدتری داشته و با نفوذ به درون واحدهای آتشفسانی باعث ایجاد شکستگی‌ها و دگرسانی‌های فراوانی شده است (شکل ۲ت).

آرزیلیکی شدن نیز در این واحد آتشفسانی گسترش خوبی داشته است (شکل ۲پ). توده نفوذی نیمه عمیق گرانوپیوریتی و کوارتز دیوریتی با سن احتمالی الیگوسن در واحد برش‌های آتشفسانی با ترکیب پیروکسن آندزیت نفوذ کرده است که می‌تواند عامل این دگرسانی‌ها باشد. مهم‌ترین توده نفوذی در منطقه قره‌گل شامل یک توده ریزکوارتزدیوریت تا گابروپیوریت شبیه آتشفسانی بزرگ است. بهندرت این توده با دایک‌های



شکل ۱ الف: موقعیت استان اردبیل در نقشه ساختاری ایران [۱۱]، ب: نقشه زمین شناسی منطقه قره گل در مقیاس ۱:۱۰۰۰۰.



شکل ۲ الف- برش های آتشفشاری منطقه با ترکیب پیروکسن آندزیت که با مرز تدریجی بر واحدهای زیرین قرار دارند، دید به سمت شرق. ب- دایک سیلیسی با آغشتگی اکسید آهن در منطقه مورد بررسی، دید به سمت شمال. پ- دگرسانی آرژیلیکی در واحدهای آتشفشاری، دید به سمت شمال. ت- نمایی از نفوذ توده گرانوڈیوریتی به درون واحد گذازه آندزیتی- تفریتی، دید به سمت جنوب غرب.

شناسی ایالات متحده (USGS) نشان می دهد که کانی های مونت موریلونیت، کاٹولینیت، مسکویت و ایلیت (شاخص پهنه های دگرسانی فیلیک و آرژیلیک) در نوار ۴ گستره فروسرخ موج کوتاه (SWIR) دارای بیشترین بازتاب و در نوار ۶، به دلیل وجود پیوند Al-OH دارای بازتاب پایین و کانی های کلریت و اپیدوت (شاخص پهنه پروپلیتیک) در نوارهای ۵ و ۶ بازتاب بالا و در نوار ۸، به دلیل پیوند Mg-OH، بازتاب پایین را نشان می دهند. بنابراین در ترکیب رنگی ۴۶۸ گستره SWIR، دگرسانی های آرژیلیک و فیلیک به رنگ قرمز تا صورتی (به علت قرار گیری نوار ۴ که نوار بازتاب کانی های شاخص پهنه دگرسانی فیلیک و آرژیلیک است در کanal قرمز) و دگرسانی پروپلیتیک به رنگ سبز (به علت قرار گیری نوار ۶ که نوار بازتاب کانی های شاخص پهنه دگرسانی پروپلیتیک است در کanal سبز) نمایان می شود. به بیان دیگر می توان گفت که در گستره های قرمز تا صورتی رنگ، احتمال دگرسانی آرژیلیک و در گستره های سبز رنگ، احتمال دگرسانی پروپلیتیک وجود دارد. همچنین ترکیب نسبتی رنگی $5+7/6$ ، $4/5$ ، $9/8$ به ترتیب در RGB برای نمایش دگرسانی های منطقه

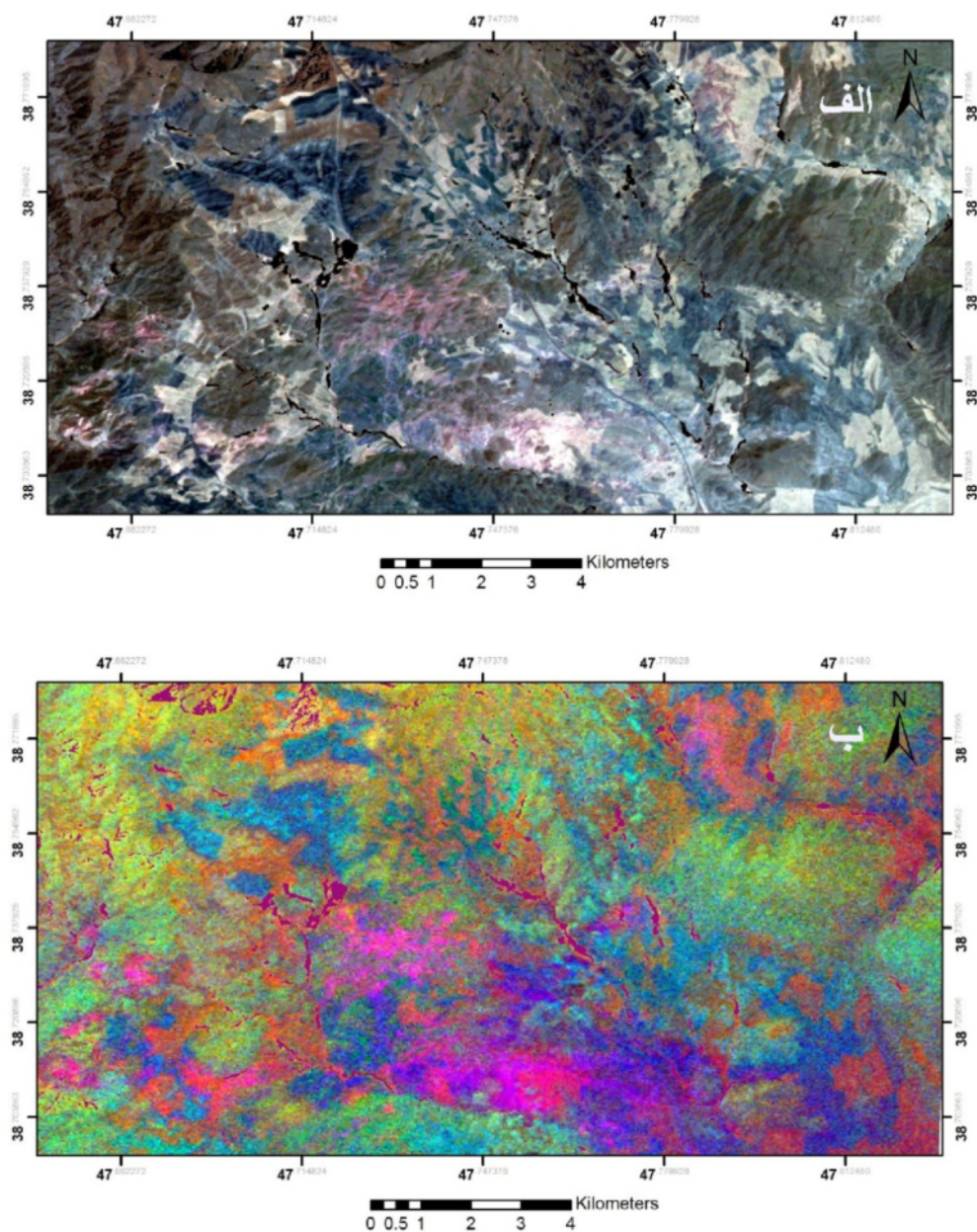
دورستنجی اکتشافی
از آنجا که تصاویر استر برداشت شده در این پژوهش دارای سطح 1T بودند، نیازی به تصحیح های پرتوسنجی نبود و در مرحله پیش پردازش، تنها تصحیح های جوی لازم به روش میانگین نسبی بازتاب ها (IARR) بر تصاویر اعمال شد. سپس با توجه به نزدیکی گستره بازتابشی پوشش گیاهی و گستره بازتابشی کانی های رسی و آهن دار و امکان تداخل طیف های آنها، برای شناسایی هر چه بهتر مناطق دگرسانی در ارتباط با کانی سازی، پوشش گیاهی منطقه با روش شاخص بهنجار شده متفاوت پوشش گیاهی (NDVI) شناسایی و پیش از پردازش تصاویر حذف گردید. پس از آن، تصاویر به دست آمده به روش ایجاد ترکیب رنگی، تحلیل مولفه های اصلی و نقشه بردار زاویه طیفی به منظور بارز سازی دگرسانی ها و خطوط راهها پردازش شدند که شرح آن در ادامه آمده است:

ترکیب رنگی

برای تفسیر چشمی پهنه های دگرسانی با استفاده از تصاویر ماهواره ای استر، از ترکیب های رنگی کاذب RGB استفاده می شود. منحنی های استاندارد کتابخانه طیفی سازمان طمین

های بنفس رنگ نشان دهنده همزمانی دگرسانی‌های فیلیک و آرژیلیک (که به دلیل هم پوشی این دو دگرسانی، در بخش‌های نزدیک به منطقه قره گل بنفس آشکارا نمایان است)، رنگ زرد نشانگر همزمان دگرسانی‌های (پروپلیتیک و فیلیک) و رنگ آبی کم رنگ نشان دهنده دگرسانی‌های همزمان پروپلیتیک و آرژیلیک هستند (شکل ۳ ب).

به کار گرفته شد. از آنجا که نسبت نواری برای دگرسانی آرژیلیک در کanal قرمز، نتیجه نسبت نواری برای دگرسانی پروپیلیتیک در کanal سبز و نتیجه نسبت نواری برای دگرسانی فیلیک در کanal آبی قرار داده شده‌اند، گستره‌های قرمز، سبز و آبی رنگ به ترتیب نشان دهنده دگرسانی‌های فیلیک، پروپیلیتیک و آرژیلیک هستند. پراساس شکل ۳ الف، گستره



برای بارزسازی دگرسانی آرژیلیک بهتر عمل می‌کند. بر این اساس، مولفه چهارم این ویژگی را بهتر نشان می‌دهد. بنابراین از این مولفه برای بارزسازی دگرسانی آرژیلیک در منطقه مورد بررسی استفاده شد. با توجه به مثبت بودن علامت نوارهای بازتاب در جدول ۱ (مستطیل قرمز رنگ)، مناطق دربردارنده پهنه‌های دگرسانی آرژیلیک با پیکسل‌های روشن در شکل ۴ الف نشان داده شده‌اند.

در دگرسانی پروپلیتیک نوارهای موثر بازتاب و جذب به ترتیب نوارهای ۹ و ۸ هستند. با توجه به جدول ۱، مولفه سوم برای نمایش این دگرسانی بهترین بوده که با مستطیل آبی مشخص شده است و از آنجا که مولفه بازتاب در اینجا دارای ضریب منفی است، پیکسل‌های تیره در تصویر نشان دهنده دگرسانی پروپلیتیک هستند (شکل ۴ ب). البته باید توجه داشت که این پیکسل‌ها تنها مناطق احتمالی حضور دگرسانی را نشان می‌دهند و درستی آن باید با بازدیدهای میدانی سنجیده شود.

در دگرسانی فیلیک نوارهای ۵ و ۷ نوار بازتاب و نوار ۶ نوار جذب شناسایی شدند. بنابراین با توجه به جدول ۱، بهترین مولفه برای شناسایی این دگرسانی مولفه پنجم بوده که با مستطیل سبز مشخص شده است. از آنجا که در اینجا نوارهای بازتاب دارای علامت منفی هستند، پیکسل‌های تیره مناطق احتمالی حضور دگرسانی فیلیک را نشان می‌دهد (شکل ۴ پ).

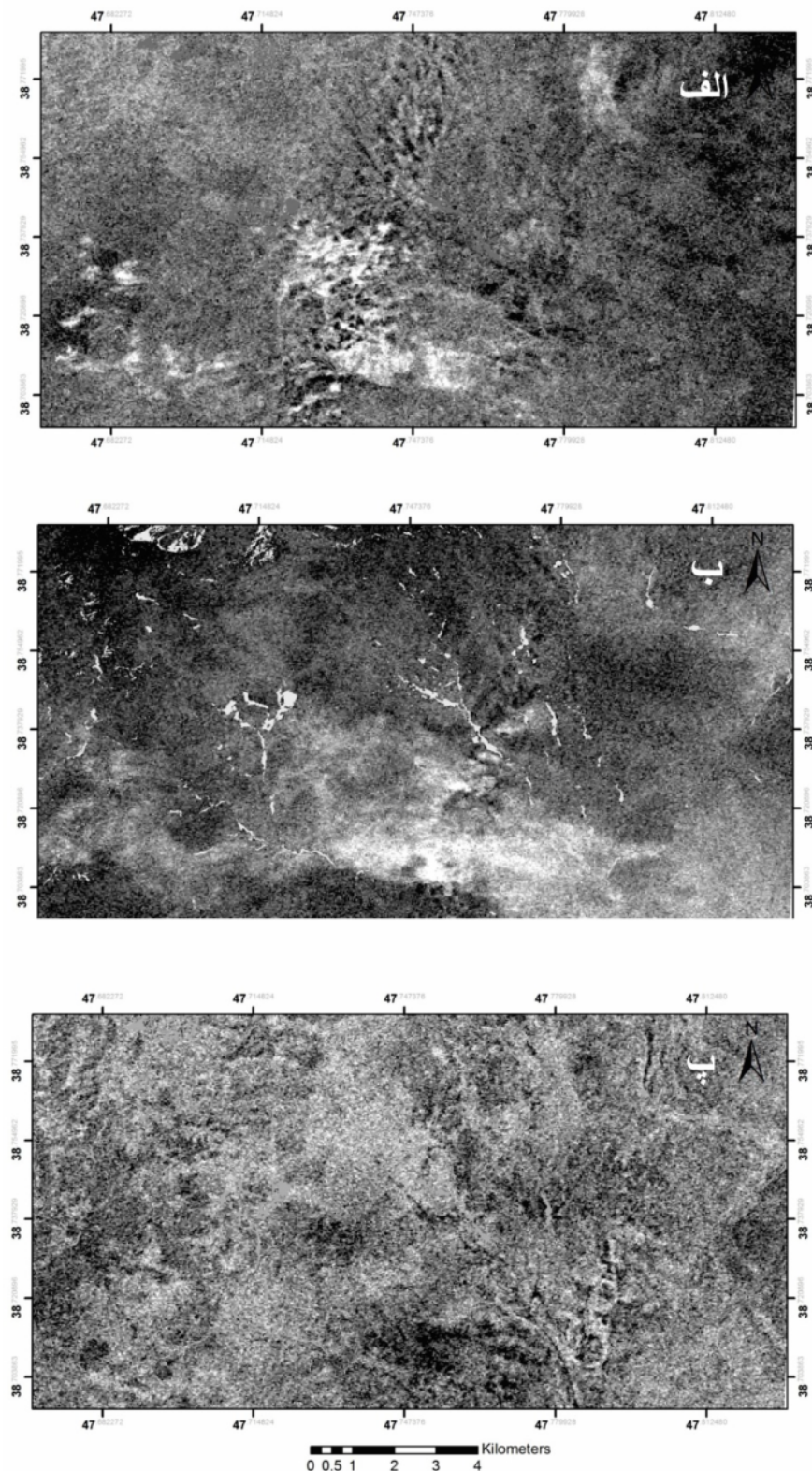
تحلیل مولفه‌های اصلی

تحلیل مولفه‌های اصلی توسط پیرسون در سال ۱۹۰۱ به عنوان یک روش چند متغیره برای تحلیل داده‌ها به کار رفت که روشی کمی در زمینه‌ی کاهش ابعاد مجموعه داده‌ها و همچنین کاهش همبستگی در داده‌های چند طیفی و ابر طیفی است. تحلیل مولفه‌های اصلی به دو صورت تحلیل مولفه‌های اصلی استاندارد و انتخابی انجام می‌شود. در تحلیل مولفه‌های اصلی استاندارد، همه نوارهای تصویر ماهواره‌ای نقش دارند، اما در تحلیل مولفه‌های اصلی انتخابی، نخست بر اساس ویژگی‌های طیفی کانی‌ها، نوارهای مناسب انتخاب شده و تحلیل مولفه‌های اصلی فقط برای آنها اعمال می‌شود [۱۲].

برای انجام این پردازش از ۶ نوار گستره SWIR سنجنده استر (نوارهای ۴ تا ۹) استفاده شد و از پوشه آماری به دست آمده از این عملیات، ماتریس ویژه بردارها برای تحلیل به کار گرفته شد. هر سطر از این ماتریس‌ها مولفه‌های اصلی (PC) و هر سوتون نوارها را نشان می‌دهد. در PC اول، ضرایب همیشه یک علامت را نشان می‌دهند، یعنی همه مثبت یا همه منفی هستند؛ این مولفه دربردارنده اطلاعات مکانی است و همه اطلاعات تصویر در این مولفه وجود دارد. سایر مولفه‌ها هر یک پدیده ویژه‌ای چون انواع دگرسانی آرژیلیک، پروپلیتیک و فیلیک را نشان می‌دهند. در دگرسانی آرژیلیک، نوارهای ۴ و ۵ به ترتیب مربوط به بازتاب و جذب هستند، از این رو، در جدول ۱ مولفه‌ای که بیشترین اختلاف را بین این نوارها نشان دهد

جدول ۱ ویژگی‌های آماری نوارهای به کار رفته در تحلیل مولفه‌های اصلی استاندارد برای بارزسازی انواع دگرسانی در تصاویر استر در گستره SWIR

ویژه بردار	نوار ۱	نوار ۲	نوار ۳	نوار ۴	نوار ۵	نوار ۶
نوار ۱	۰,۴۲۳۷۳۱	۰,۴۰۶۰۳۳	۰,۴۱۰۵۱۳	۰,۴۱۳۵۱۵	۰,۱۱۱۰۵۱	۰,۳۸۰۳۰۷
نوار ۲	-۰,۸۶۶۰۰۷۷	-۰,۰۷۹۷۷۳	۰,۰۷۷۶۸۴	-۰,۱۹۷۱۳۵	-۰,۳۶۹۲۱۵	-۰,۳۱۷۳۹۴
نوار ۳	-۰,۰۳۷۶۲۸	۰,۰۵۵۹۳۸	-۰,۰۵۷۶۷۰	۰,۴۲۷۳۱۹	۰,۳۶۸۱۳۳	-۰,۸۲۰۹۷۸
نوار ۴	۰,۳۰۹۹۱۸	-۰,۵۴۳۲۱۹	-۰,۴۹۸۴۶۸	۰,۱۸۴۰۴۸	۰,۳۸۶۳۸۲	۰,۲۵۹۸۷۷
نوار ۵	-۰,۰۰۴۴۳۴۲	-۰,۳۷۴۷۰۲	۰,۴۷۷۷۷۲۹	-۰,۵۶۱۰۸۶	۰,۵۵۳۱۲۴	-۰,۱۰۲۹۱۰
نوار ۶	۰,۱۰۲۶۴۶	۰,۶۲۴۶۲۵	-۰,۴۸۶۲۹۳	۰,۵۰۸۷۷۳	۰,۳۱۸۵۶۱	-۰,۰۴۹۹۵۴



شکل ۴- مولفه‌های اصلی استاندارد سنجنده استر، الف تصویر مولفه چهارم دگرسانی آرژیلیک با پیکسل‌های روشن نمایان شده است. ب- تصویر مولفه سوم دگرسانی پروپلیتیک با پیکسل‌های تیره نمایان است. پ- تصویر مولفه پنجم دگرسانی فیلیک با پیکسل‌های تیره نمایان شده‌اند.

شدن. این دگرسانی در گستره SWIR، در نوارهای ۵ و ۷ بازتاب و در نوار ۶ جذب نشان می‌دهد. چنان که در جدول ۳ دیده می‌شود، مولفه‌های دوم و سوم برای نمایش دگرسانی فیلیک شرایط مشابهی دارند، ولی از آنجا که PC آخر اغلب دارای نویه بیشتری است، از مولفه دوم برای نمایش دگرسانی فیلیک استفاده می‌شود و چون نوار بازتاب در این مولفه دارای ضریب مثبت است مناطق دگرسانی فیلیک با پیکسل‌های روشن در تصویر نمایش داده می‌شوند. در صورت استفاده از مولفه سوم، با توجه به علامت منفی نوار بازتاب، مناطق تیره رنگ نشان دهنده دگرسانی بودند.

برای بارزسازی دگرسانی آرژیلیک نوارهای ۴ و ۵ که به ترتیب نوارهای بازتاب و جذب هستند مناسب تشخیص داده شدند. همچنین، نوار ۷ به دلیل بازتاب ثانویه‌ای که در این نوع دگرسانی نشان می‌دهد کاربردی است. بنابراین براساس جدول ۴، مولفه دوم (مستطیل قرمز رنگ) دارای بیشترین اختلاف بین نوارها بوده و برای نمایش دگرسانی آرژیلیک مناسب‌تر است و از آنجا که ضریب نوار بازتاب مثبت است، پیکسل‌های روشن در این تصویر نمایانگر دگرسانی آرژیلیک هستند.

تحلیل مولفه‌های انتخابی

کروستا و مور (۱۹۸۹) برای نخستین بار روش مولفه اصلی جهت یافته موضوعی یا (FPCS) را پیشنهاد دادند. امروزه این روش به نام روش کروستا شناخته می‌شود. استفاده از روش تحلیل مولفه‌های اصلی با روش کروستا در این پژوهش نشان داد که این روش برای استخراج نواحی دگرسان شده و واحدهای سنگی مفید است و همخوانی بسیار خوبی با تصاویر نسبتی و ترکیب رنگی در جداسازی دگرسانی‌ها دارد. به این ترتیب، فقط نوارهای دارای جذب و بازتاب برای پدیده مورد بررسی انتخاب می‌شوند، از این رو، برای بارزسازی دگرسانی پروپلیتیک نوارهای ۷، ۸، ۹ در گستره SWIR سنجنده استر انتخاب شدند. در منطقه مورد بررسی می‌توان فقط نوار ۹ را به عنوان بازتاب در نظر گرفت و به این ترتیب، مولفه دوم که با مستطیل آبی مشخص است، برای نمایش دگرسانی پروپلیتیک مناسب‌تر است (جدول ۲). از آنجا که در این مولفه ضریب PC مثبت است دگرسانی‌های پروپلیتیک با پیکسل‌های روشن نشان داده می‌شوند.

برای بارزسازی دگرسانی فیلیک، نوارهای ۵، ۶ و ۷ تحلیل

جدول ۲ ویژگی‌های آماری نوارهای ۷، ۸ و ۹ در تحلیل مولفه‌های اصلی انتخابی (روش کروستا) برای بارزسازی دگرسانی پروپلیتیک در تصاویر استر SWIR

نوار	۴	نوار	۳	نوار	۲	نوار	بردار
-۰.۵۸۲۵۴۶	-۰.۵۷۷۶۲۱	-۰.۵۷۱۸۳۴	-۰.۵۷۱۸۳۴	-۰.۵۷۱۸۳۴	-۰.۵۷۱۸۳۴	-۰.۵۷۱۸۳۴	۲
-۰.۷۵۹۰۵۷	-۰.۶۳۸۱۹۱	-۰.۶۳۸۱۹۱	-۰.۶۳۸۱۹۱	-۰.۶۳۸۱۹۱	-۰.۶۳۸۱۹۱	-۰.۶۳۸۱۹۱	۳
۰.۲۹۰۶۴۱	۰.۵۰۸۹۸۵	۰.۵۰۸۹۸۵	۰.۵۰۸۹۸۵	۰.۵۰۸۹۸۵	۰.۵۰۸۹۸۵	۰.۵۰۸۹۸۵	۴

جدول ۳ ویژگی‌های آماری نوارهای ۵، ۶ و ۷ در تحلیل مولفه‌های اصلی انتخابی (روش کروستا) برای بارزسازی دگرسانی فیلیک در تصاویر استر SWIR

نوار	۴	نوار	۳	نوار	۲	نوار	بردار
-۰.۵۸۲۵۴۶	-۰.۵۷۷۶۲۱	-۰.۵۷۱۸۳۴	-۰.۵۷۱۸۳۴	-۰.۵۷۱۸۳۴	-۰.۵۷۱۸۳۴	-۰.۵۷۱۸۳۴	۲
-۰.۷۵۹۰۵۷	-۰.۶۳۸۱۹۱	-۰.۶۳۸۱۹۱	-۰.۶۳۸۱۹۱	-۰.۶۳۸۱۹۱	-۰.۶۳۸۱۹۱	-۰.۶۳۸۱۹۱	۳
۰.۲۹۰۶۴۱	۰.۵۰۸۹۸۵	۰.۵۰۸۹۸۵	۰.۵۰۸۹۸۵	۰.۵۰۸۹۸۵	۰.۵۰۸۹۸۵	۰.۵۰۸۹۸۵	۴

جدول ۴ ویژگی‌های آماری نوارهای ۴ و ۵ و ۷ در تحلیل مولفه‌های اصلی انتخابی برای بارزسازی دگرسانی آرژیلیک در تصاویر استر SWIR

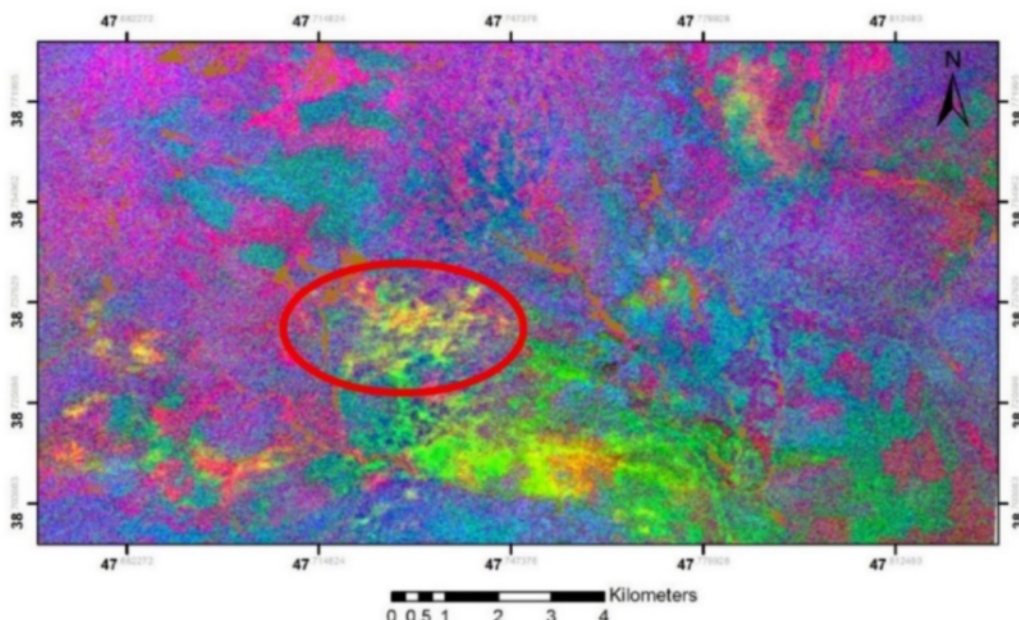
نوار	۴	نوار	۳	نوار	۲	نوار	بردار
۰.۵۷۴۲۴۸	۰.۵۶۳۹۶۶	۰.۵۶۳۹۶۶	۰.۵۶۳۹۶۶	۰.۵۶۳۹۶۶	۰.۵۶۳۹۶۶	۰.۵۶۳۹۶۶	۲
-۰.۴۹۷۱۴۹	-۰.۳۳۵۷۰۶	-۰.۳۳۵۷۰۶	-۰.۳۳۵۷۰۶	-۰.۳۳۵۷۰۶	-۰.۳۳۵۷۰۶	-۰.۳۳۵۷۰۶	۳
۰.۶۵۰۴۴۸	۰.۷۵۴۴۸۳	۰.۷۵۴۴۸۳	۰.۷۵۴۴۸۳	۰.۷۵۴۴۸۳	۰.۷۵۴۴۸۳	۰.۷۵۴۴۸۳	۴

دگرسان را در تصویر نمایش می‌دهد. در این روش، با تبدیل طیف‌ها به بردار فضایی به ابعاد تعداد نوارها زاویه بین دو بردار محاسبه می‌شود و تنها عامل مهم در محاسبه راستای بردارهای است. هرچه زاویه کوچکتر باشد (بین صفر و یک) شناسایی دقیق‌تر و مطمئن‌تر می‌شود. خروجی این روش یک تصویر رده‌بندی شده و یک تصویر قاعده‌ای هستند. در تصویرهای قاعده‌ای، تیزه‌ترین پیکسل‌ها نشان دهنده کوچکترین زاویه طیفی هستند که بیشترین شباهت را با طیف مرجع دارند [۱۳]. مزیت اصلی این روش سریع و آسان بودن آن برای نقشه‌برداری شباهت، طیف تصویر با طیف مرجع است که می‌تواند آثار سایه را از بین ببرد [۱۴]. شکل ۶ نتیجه استفاده از نقشه بردار زاویه طیفی در منطقه قره گل برای استخراج دگرسانی‌ها را نشان می‌دهد؛ مقایسه آن با سایر روش‌هایی که تا اینجا استفاده شد نشان می‌دهد که این روش برای نمایش انواع پهنه‌های دگرسانی دقیق‌ترین و بهترین است. در این شکل، دگرسانی آرژیلیکی با رنگ سبز، فیلیک با پیکسل‌های قرمز و دگرسانی پروپلیتیک با پیکسل‌های مشکی نمایش داده شده است چنان که دیده می‌شود، در منطقه قره گل بیشترین همپوشانی از این پیکسل‌ها قابل مشاهده است که می‌تواند نشانگر همراهی آن با دگرسانی‌های اصلی منطقه و در نتیجه کانه‌زایی باشد.

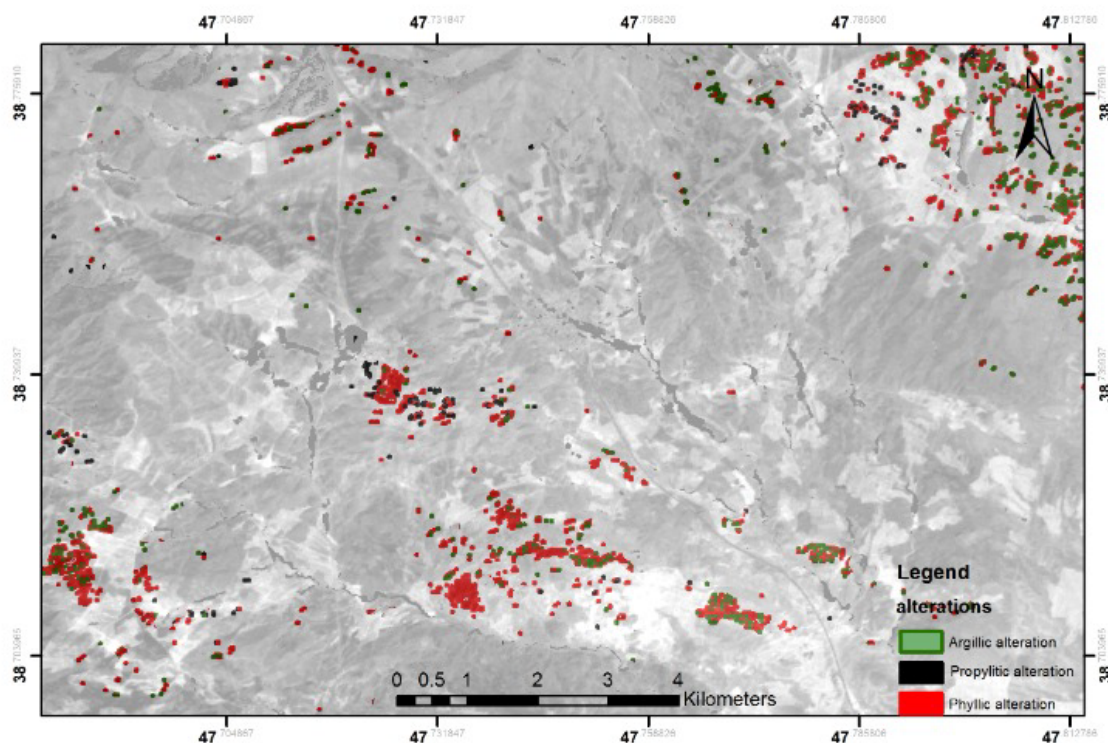
برای تفسیر بهتر نتایج تحلیل مولفه‌های انتخابی، در ادامه از روش ترکیب کاذب رنگی استفاده شد و با استفاده از سه مولفه‌ای که برای بارزسازی دگرسانی‌ها بهترین نتیجه را داده‌اند، ترکیب رنگی کاذب تولید گردید. در این ترکیب رنگی، مولفه مربوط به استخراج دگرسانی آرژیلیک (PC2) تصویر نوارهای (۴۵۷) در جعبه رنگی قرمز، مولفه مربوط به دگرسانی فیلیک (PC2) تصویر نوارهای (۵، ۶ و ۷) در جعبه رنگی سبز و مولفه مربوط به استخراج دگرسانی پروپلیتیک (PC2) تصویر نوارهای (۸ و ۹) در جعبه رنگی آبی قرار گرفتند. در نتیجه، گسترهای قرمز، سبز و آبی رنگ به ترتیب نشان دهنده دگرسانی‌های آرژیلیک، و پروپلیتیک هستند. با توجه به ترکیب رنگ‌های اصلی می‌توان گفت که رنگ زرد نشان دهنده حضور همزمان دگرسانی‌های آرژیلیک و فیلیک است که بسیار از ناهنجاری‌های منطقه نیز با این بخش‌ها همپوشانی دارند (شکل ۵).

نقشه بردار زاویه طیفی

روش نقشه‌برداری زاویه طیفی از روش‌های رده‌بندی نظارت شده محسوب می‌شود که با استفاده از بانک اطلاعات طیفی نرم افزار میزان تشابه طیف پیکسل مرجع و طیف بازتاب یافته از کانی‌های دگرسان شده را سنجیده و با محاسبه کمترین اختلاف زاویه طیفی پیکسل‌ها، موقعیت کانی‌های پهنه‌های



شکل ۵ ترکیب رنگی کاذب از (PC2(4,5)، PC2(5,6,7)، PC2(7,8,9) مناطق زرد رنگ نشان دهنده حضور همزمان دگرسانی‌های آرژیلیک و فیلیک است.



شکل ۶ استخراج انواع دگرسانی‌های منطقه با استفاده از نقشه‌بردار زاویه طیفی.

جابجایی کمتر از ۱۰۰ متر دارند و از نوع راست بر هستند. (۳) گسل‌های معکوس و رانده بخش غربی منطقه با زاویه سمت ۷۰-۶۰ درجه که برخی از آن‌ها روند شرقی - غربی دارند. میزان جابجایی انجام شده در طول این گسل‌ها ناچیز بوده و در طول آن‌ها کانه‌زایی انجام نشده است.

بررسی‌های سنگ نگاری و دگرسانی

در منطقه مورد بررسی، برونزد سنگ‌های آتشفسانی بیش از سنگ‌های آذرین درونی است و همچنین سنگ‌های آذرآواری نیز گسترش به نسبت خوبی دارند. بررسی‌های سنگ‌نگاری نشان می‌دهد که سنگ‌های این واحد را می‌توان به دو بخش سنگ‌های آذرین خروجی و آذرآواری و سنگ‌های آذرین نفوذی و شبه آتشفسانی تفکیک کرد. بر اساس بررسی‌های سنگ‌شناسی، ترکیب اصلی سنگ‌های آذرین خروجی شامل آندزیت و توف‌های آندزیتی پیروکسن و هورنبلندرار با بافت پورفیریتیک و خمیره ریزدانه و یا ریزسنگی تا شیشه‌ای است که در بخش شمالی روستای قره گل قرار دارد (شکل‌های ۸الف و ب). کانی‌های اصلی سنگ شامل درشت بلورهای پلاژیوکلاز (۳۵ تا ۵۰ درصد)، کلینوپیروکسن (۵ تا ۲۰ درصد، بیشتر از نوع کلینوپیروکسن اوژیتی) و آمفیبول (۱ تا ۱۰

آشکارسازی خطواره‌ها

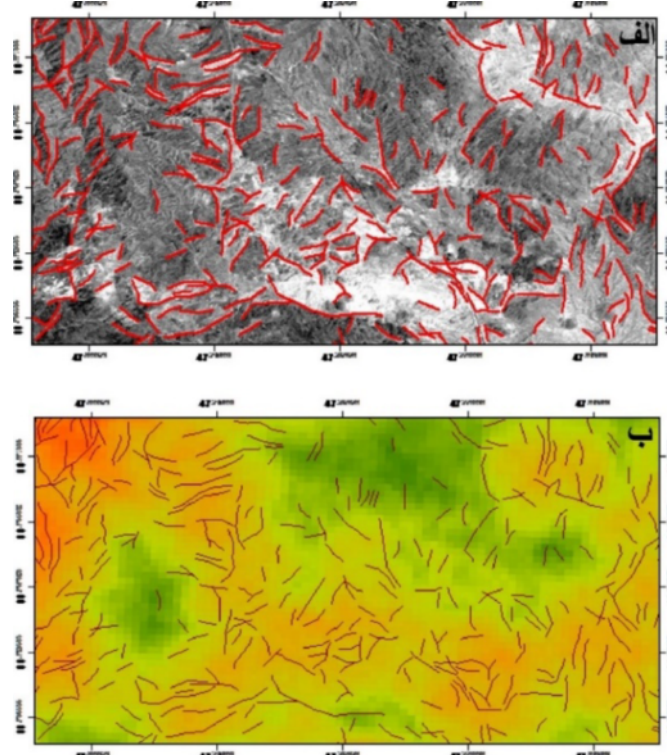
برای آشکارسازی خطواره‌ها، تصویر PC2 به دست آمده از تحلیل مولفه‌های اصلی اعمال شده بر نوارهای سنجنده استر با الگوریتم استخراج خودکار خطواره‌ها در محیط نرم‌افزار Geomatica 2018 پردازش شد. این روش خطواره‌ها را از طریق سه مرحله آشکارسازی لبه، آستانه‌گذاری و استخراج منحنی بارزسازی می‌کند، سپس خطواره‌های استخراج شده در محیط نرم‌افزار ArcMap 10.6.1 پردازش شدند که شامل تقسیم خطوط مركب به خطهای ساده، ویرایش خطواره‌های مربوط و خروجی گرفتن از خطواره به صورت یک پوشش شکل است. پس از بارزسازی خطواره‌ها و کنترل آن با نقشه زمین‌شناسی و بازدیدهای میدانی، نقشه خطواره‌های منطقه مورد بررسی رسم گردید (شکل ۷) که پیرامون ارتباط آن با گسترش پهنه‌های دگرسانی در ادامه بحث می‌شود.

گسل‌های موجود در این بخش از منطقه را می‌توان به سه گروه اصلی تقسیم کرد: (۱) گسل‌های با روند شمال شرق - جنوب غرب که بیشترین پراکندگی را دارند و روند عمومی آن N40E تا N20E است، (۲) گسل‌های راستا لغز با روند شمال غرب - جنوب شرق کم اغلب زاویه سمت ۳۱۵-۳۰۰ و

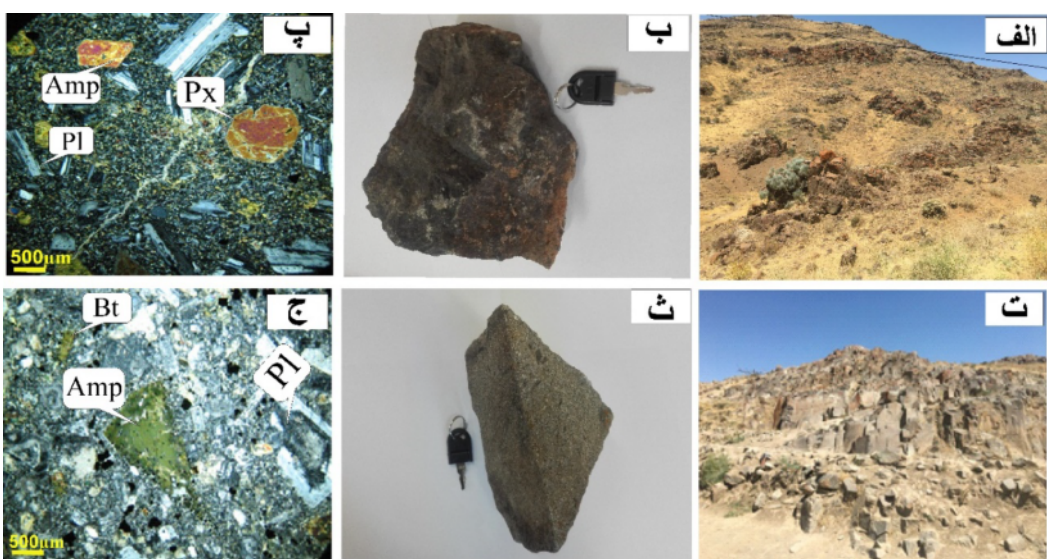
شامل بافت‌های پورفیری ریزدانه‌ای تا خرده دانه‌ای و گلومروپورفیری است. کانی‌های اصلی تشکیل دهنده این واحد در سنگ‌ها شامل پلازیوکلاز، پیروکسن و هورنبلند و همچنین بیوتیت است (شکل ۸ ج).

دگرسانی در منطقه گردنه‌ی صلوت در ادامه‌ی دگرسانی‌های محور اهر-مشکین شهر قرار دارد که به طور گستردگی در منطقه دیده می‌شود. دگرسانی‌های محور اهر مشکین شهر بیشتر شامل دگرسانی‌های آرژیلیک، آرژیلیک پیشرفته و سیلیسی هستند. در این محور، اغلب توده‌های نفوذی باعث ایجاد دگرسانی‌هایی در سنگ‌های آتشفسانی پالوسن و ائوسن شده‌اند. در منطقه قره گل، توده‌های ریزکوارتزدیوریتی در سنگ‌های آتشفسانی و آذرآواری نفوذ کرده و دگرسانی و کانه زایی در مقیاس ضعیف ایجاد شده‌اند. بر اساس بررسی‌های صحراوی و دورستجی، دگرسانی‌های فیلیک، آرژیلیک و پروپلیتیک در بخش مرکزی منطقه شناسایی شدند؛ بررسی‌های سنگ‌نگاری با برداشت نمونه‌های سطحی نیز وجود این دگرسانی‌ها را در سنگ‌های منطقه تایید کرده است. نتایج بررسی مغذه‌های حفاری در منطقه بیانگر دگرسانی پتانسیمی است که در ادامه توضیح داده می‌شود.

درصد) هستند. درشت بلورها و خمیره گاهی به مجموعه‌ای از کانی‌های ثانویه سریسیت کلریت، اپیدوت، کربنات، و به مقدار کمتر کانی‌های رسی و کوارتز تجزیه شده‌اند که در ادامه توضیح داده می‌شود. سنگ‌های آذرآواری منطقه اغلب از نوع توف شیشه‌ای بلوری نوع آندزیتی با خمیره ریزدانه و یا ریزسنگی تا شیشه‌ای است. درشت‌بلورهای نیمه خودشکل پلازیوکلاز و بیوتیت در زمینه‌ای شیشه‌ای قرار دارند و به طور کامل دگرسان شده‌اند که بیشترین حجم نمونه را تشکیل می‌دهند (شکل ۸ پ). مهم‌ترین توده شبیه آتشفسانی در منطقه قره گل یک توده ریزکوارتز دیوریت تا گابرو دیوریت بزرگ (شکل-های ۸ ت و ۸) با ساخت منشوری است که به ندرت توسط دایک‌های جوان‌تر بریده شده است. این توده خاکستری مایل به سبز در دو بخش شرقی و غربی روستای قره گل بروزد گستردگی دارد. در مرز بین این دو بخش نیز، بروزدهای کوچکی از توده دیده می‌شود. از این رو به نظر می‌رسد که توده در زیر واحدهای آذرآواری و آتشفسانی ائوسن حضور دارد. براساس بازدیدهای صحراوی، بافت آن پورفیری تا ریزدانه‌ای بوده و دارای درشت‌بلورهای آمفیبول به اندازه چند میلی متر است که اغلب کمی جهت یافتنگی نشان می‌دهند. سنگ بیشتر



شکل ۷ الف- نقشه خطوارهای استخراج شده از تحلیل مولفه‌های اصلی سنجنده استرب- نقشه تراکم خطواره‌ها.

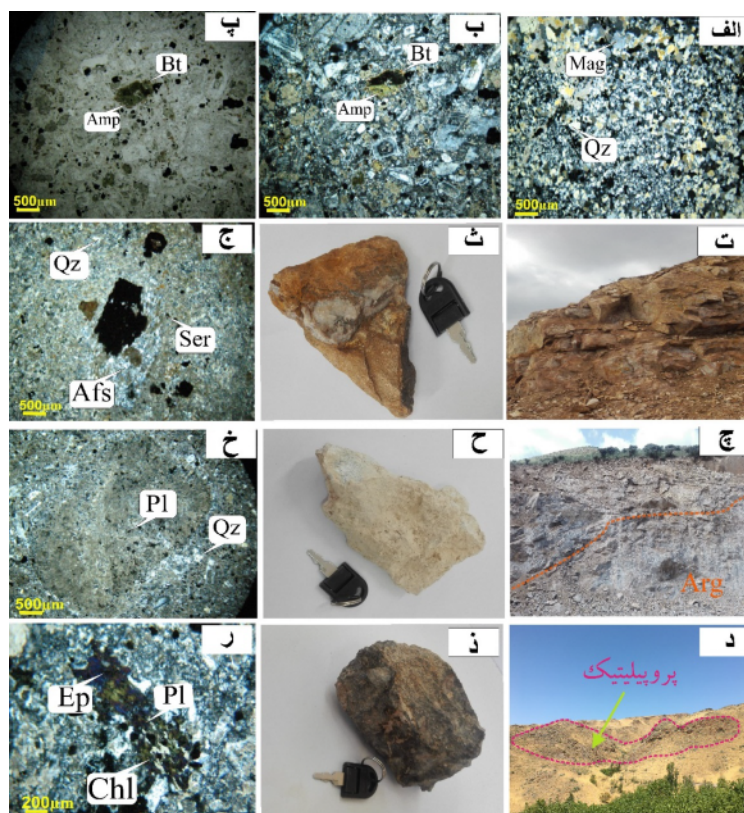


شکل ۸ الف- تصویر صحرایی از واحد آندزیتی در نزدیکی روستای قره‌گل، ب- نمونه دستی آندزیت دیده شده در منطقه موردبررسی) پ- آندزیت با بافت پورفیری، درشت بلور های پلازیوکلاز، پیروکسن آمفیبول در زمینه ای از ریزسنگ های پلازیوکلاز به همراه دگرسانی کربناتی و اپیدوتی و آغشتگی اکسیدهای آهن (در نور قطبیده مقاطع، XPL و قطبیده صفحه ای، ppl) ت- تصویر صحرایی از ریزکوارتز دیوریت ها در منطقه موردبررسی. ث- نمونه دستی ریزکوارتز دیوریت دیده شده در منطقه موردبررسی. ج- تصویر میکروسکوپی با نور عبوری از درشت بلور های پلازیوکلاز منطقه‌بندی دار که در مرکز رسی شده و درشت بلور های آمفیبول سبز در لبه به بیوتیت تبدیل شده اند (در نور xpl و ppl)

دگرسانی آرژیلیک اغلب به صورت بخش‌هایی به رنگ کرم تا زرد در منطقه‌ی مورد بررسی دیده می‌شود (شکل‌های ۹ ج و ۹ ح). دگرسانی آرژیلیک با حضور کانی‌های رسی چون کائولینیت، سریسیت، ایلیت، مونتموریونیت، کلریت، کلسیت و اسکمیت مشخص می‌شود. بین دگرسانی آرژیلیک پیشرفت‌هه با انواع متوسط و ضعیف آن مرز بسیار مشخص و آشکاری وجود ندارد، اما در بررسی‌های سنگنگاری جداشی به این صورت است که زمانی که همه ساختار پلازیوکلازها یا فلدسپارهای پتاسیم به کانی رسی تبدیل شده و شکل اولیه و ماکل نامشخص باشد، آن دگرسانی را به عنوان دگرسانی پیشرفت‌ه در نظر می‌گیرند. این در حالی است که اگر بخشی از پلازیوکلازها و فلدسپارهای پتاسیم به کانی رسی تبدیل شده اما همچنان شکل اولیه و آثار ماکل در کانی‌ها مشخص باشد آن دگرسانی را به عنوان دگرسانی آرژیلیکی متوسط می‌شناسند (شکل ۹ خ). دگرسانی پروپیلیتیک در منطقه‌ی مورد بررسی با رخمنون ضعیف دیده می‌شود. در این دگرسانی کانی‌های Mg, Ca به صورت جانشینی در پلازیوکلازها (اپیدوت، کلریت و کلسیت) و هورنبلند- بیوتیت (کلریت، اپیدوت و مونتموریونیت) تشکیل می‌شوند. بررسی میکروسکوپی مقاطع نشان می‌دهد که در برخی نمونه‌ها، پلازیوکلاز به طور کامل به اپیدوت، کلریت تبدیل شده و فقط قالبی از آن باقی مانده است.

دگرسانی پتاسیمی به دلیل رخمنون نداشتن در سطح در تصاویر ماهواره‌ای شناسایی نشد، ولی بررسی مغزه‌های حفاری نشانگر رخداد آن است که اغلب در مرکز کانسار مس پورفیری تشکیل می‌شود. در این دگرسانی‌ها، پتاسیم در سنگ جانشین شده و سدیم و کلسیم خارج می‌شود. کانی‌های شاخص این دگرسانی شامل ارتوز، بیوتیت و کوارتز و کانه‌ها مگنتیت، کالکوپیریت پیریت و بورنیت هستند [۱۵]. در برخی از مقاطع، رگچه‌های کوارتز در کنار کانه کدر مگنتیت دیده می‌شوند (شکل ۹ الف). کانی بیوتیت ثانویه در نتیجه دگرسانی کانی آمفیبول به وجود آمده است (شکل‌های ۹ ب و پ).

دگرسانی سریسیتی از رایج‌ترین انواع دگرسانی‌هاست. نام دیگر این پهنه فیلیک است. این پهنه در برخی از ذخایر به دگرسانی کوارتز، سریسیت و پیریت (QSP) نیز معروف است. کانی‌های مهم این پهنه عبارتند از سریسیت، کوارتز، پیریت، دیکیت، کمی کائولن و آندالوزیت. پهنه فیلیک در بخش بالایی سامانه پورفیری به صورت همپوشی روی مجموعه پتاسیمی و گاهی آرژیلیک حدواتسط تشکیل می‌شود و می‌تواند دارای کانسنگ مس- طلا باشد [۱۶]. دگرسانی سریسیتی در منطقه‌ی مورد بررسی در حد ضعیف تا متوسط دیده می‌شود (شکل‌های ۹ ت، ث) که در نتیجه آن کانی‌های فلدسپارقلیایی به سریسیت و کوارتز و زمینه سنگ به رس تبدیل شده‌اند.



شکل ۹ الف- رگچه کوارتز و کانی کدر (به احتمال بسیار مگنتیت، در نور xpl)، ب-پ- تصویر میکروسکوپی با نور عبوری از سنگ ریزکوارتز دیوریت که در آن آمفیبول‌ها درنتیجه دگرسانی پتاسیمی به بیوتیت ثانویه بدیل شده‌اند (در نور xpl). ت- تصویر صحرایی از واحد دگرسانی سریسیت در منطقه موردبررسی. ث- نمونه دستی از دگرسانی سریسیتی ج- تصویر میکروسکوپی با نور عبوری از دگرسانی سریسیتی در سنگ تراکیت که در آن فلدسپارکلایی به سریسیت و کوارتز و زمینه سنگ به رس تبدیل شده‌اند (در نور xpl). چ- تصویر صحرایی از واحد دگرسانی آرژیلیک ح- نمونه دستی از دگرسانی آرژیلیک خ- تصویر میکروسکوپی نور عبوری از کانی پلازیوکلاز که تقریباً به طور کامل به کانی‌های رسی و کوارتز شده و فقط قالبی از آن باقی مانده است (در نور xpl). د- تصویر صحرایی از واحد دگرسانی پروپیلیتیک ذ- نمونه دستی از دگرسانی پروپیلیتیک ر- تبدیل شدگی پلازیوکلاز به اپیدوت و کلریت در همراهی دگرسانی کربناتی و سیلیسی و کانی‌های کدر سنگ (در نور xpl).

کانی‌های رسی در نتیجه تبدیل شدگی پلازیوکلاز در پهنه کائولینیت و اپیدوت و کلریت در پهنه پروپیلیتیک بود که به صورت جانشینی در کانی‌های پلازیوکلاز تشکیل شده‌اند. رخداد دگرسانی در منطقه به احتمال بسیار نتیجه‌ی نفوذ تودهای ریزدیوریتی در سنگ‌های آذرین خروجی و آذرآواری است و همراهی نزدیکی با خطواره‌ها نشان می‌دهد. به این دلیل خطواره‌ها نیز با استفاده از تصویر PC2 تحلیل مولفه‌های اصلی و بازدیدهای صحرایی استخراج شدن که همراهی نزدیکی با پهنه‌های دگرسانی ناشی از ترکیب رنگی نسبتی داشتند. برای اطمینان بیشتر از دگرسانی‌های استخراج شده به روش نام برده، از روش تحلیل مولفه‌های اصلی و نقشه‌بردار زاویه طیفی نیز برای نمایش توزیع فضایی پهنه‌های دگرسانی استفاده شد. بر این اساس با در نظر گرفتن همپوشانی مناطق با تراکم خطی

برداشت

براساس نتایج این پژوهش، دگرسانی در منطقه گردنه‌ی صلوات در ادامه‌ی دگرسانی‌های محور اهر- مشکین شهر قرار دارد که به طور گستردگی در منطقه دیده می‌شود. دگرسانی‌های دیده شده در منطقه‌ی مورد بررسی شامل دگرسانی‌های پتاسیمی، پروپیلیتیک، سریسیتی، آرژیلیک، سیلیسی، کربناتی و اکسید آهن هستند. در بررسی‌های دورسنجی براساس نوارهای VNIR و SWIR سنجنده استر، از نسبت نواری ۴/۵ سنجنده ۹/۸ استر برای آشکارسازی دگرسانی آرژیلیک و از نسبت نواری ۵+۷/۶ نیز برای استخراج این رضایت بخشی به دست آمد. همچنین بارزسازی دگرسانی فیلیک با استفاده از نسبت نواری ۵+۷/۶ نیز برای استخراج این نوع دگرسانی مفید بود. نتایج بررسی‌های سنگنگاری بیانگر فراوانی کانی‌های کوارتز، سریسیت و پیریت در پهنه فیلیک،

(Fe²⁺) iron oxides distribution using band ratio techniques with ASTER data and geochemistry of Kanjamalai and Godumalai, Tamil Nadu”, south India. remote Sensing Applications 18 (2020) 100-306.

[7] Khaleghi M., Ranjbar H., Abedini A., Kalagari A.A., “Synergetic use of the sentinel-2, aster, and lansat-8 data for hydrothermal alteration and iron oxide minerals mapping in a mine scale”, Acta Geodyn. Geomater 17 (2020) 311-328.

[8] El-Desoky H.M., Soliman N., Heikal M.A., Abdel-Rahman A.M., “Mapping hydrothermal alteration zones using ASTER images in the Arabian–Nubian Shield: A case study of the northwestern Allaqi District”, South Eastern Desert, Egypt. Asian Earth Sciences 5 (2020).

[9] Azizi H., Jahangiri A., “Cretaceous subduction-related volcanism in the northern Sanandaj-Sirjan Zone”, Iran. J. Geode, 45(4-5) (2008) 178-190.

[10] Azizi H., Moinevaziri H., “Review of the tectonic setting of Cretaceous to Quaternary volcanism in northwestern Iran”, J. Geodyn, 47(4) (2009) 167-179.

[11] Sahandi M. R., “Map of structural zones of Iran”, Geological Survey and Mineral Exploration Organization (2006).

[12] van der Werff H., van der Meer F. D., “Sentinel-2A MSI and Landsat 8 OLI provide data continuity for geological remote sensing”, Remote Sensing 8(11) (2016) 883.

[13] Galva L. S., Almeida-Filho R., Vitorello I., “Spectral discrimination of hydrothermally altered Materials”, Using ASTER short-wave infrared bands. *Applied Earth Observation and Geoinformation*, Elsevier 7(2) (2005) 107-114.

[14] Bennett S. A., Atkinson W., Kruse W., “Use of Thematic Mapper imagery to identify mineralization in the Santa Teresa district, Sonora, Mexico”, International Geology Review, 35(11): (1993)1009–1029.

[15] Lowell J.D., Guilbert J.M., “Lateral and vertical alteration-mineralization zoning in porphyry ore deposits: economic geology and the bulletin of the society”, economic geologists 65 (4) (1970) 373–408.

[16] Sillitoe R.H., “Gold- rich porphyry deposits: Descriptive and genetic models and their role in exploration and discovery SEG”, Reviews 13 (2000)315-345.

بالا به همراه دگرسانی‌ها، بیشترین مناطق ممکن برای کانی سازی چند فلزی در بخش مرکزی تصویر بازسازی و شناسایی شد. نتایج برآمده از پردازش تصاویر در منطقه موردبرسی نشان داد که نقشه‌بردار زاویه طیفی در مقایسه با سایر روش‌های به کار رفته در این پژوهش، برای استخراج دگرسانی‌ها نتایج بهتری را ارائه می‌دهد و همخوانی خوبی با نتایج سنگنگاری نشان داده و می‌تواند به عنوان روشی مطمئن به کار رود. بنابراین نتایج این پژوهش شاهدی بر سودمندی به کارگیری روش نسبت نواری، تحلیل مولفه‌های اصلی و نقشه‌بردار زاویه طیفی برای نقشه‌برداری دگرسانی‌های همراه با کانه‌زایی چند فلزی است که موجب انجام کارهای صحرابی و تجزیه‌های زمین‌شیمیایی کمتر و در نتیجه مقرر به صرفه شدن پی‌جوبی می‌گردد.

قدرتانی

نگارندگان از همکاری دانشگاه محقق اردبیلی و سازمان توسعه و نوسازی معدن و صنایع معدنی ایران (ایمیدرو) سپاسگزارند.

مراجع

- [1] Rowan L. C., Schmidt R., Mars J. C., “Distribution of Hydrothermally Altered rocks in the Reko Diq”, Pakistan Mineralized Area Based on Spectral Analysis of ASTER Data. *Remote Sensing of Environment*, 104(1) (2006) 74-87.
- [2] Tangestani M. H., Moore F., “porphyry copper alteration mapping in Meiduk area”, Kerman, Iran. *International journal of remote Sensing* 23(22) (2002) 4815-4825.
- [3] Srivastav S.K., A.Bhattacharya M.V., Kamaraju V., Sreenivasa G., Reddy List F.K., Burger H., “Remote sensing and GIS for locating favourable zones of lead-zinc-copper mineralization in RajpuraDariba area”, Rajasthan, India. *International Journal of Remote Sensing*, 21(17) (2000) 3253-3267.
- [4] Sengupta A., Adhikari M.D., Maiti S., Maiti S.K., Mahanta P., Bhaumick S., “Identification and mapping of high-potential iron ore alteration zone across Joda”, Odisha using ASTER and EO-1 hyperion data. *Spatial science* 64 (2018) 491-514.
- [5] Mazhari N., Malekzadeh Shafaroudi A., Ghaderi M., “Detecting and mapping different types of iron mineralization in Sangar mining region, NE Iran, using satellite image and airborne geophysical data. *Geosciences* 21 (2017) 137-148.
- [6] Gopinathan P., Parthiban S., Magendran T., Ayad M., Fadhil Al-Quraishi D., Ashok K., Pradeep K., “Mapping of ferric (Fe^{3+}) and ferrous